

539.12.01

**НЕСОХРАНЕНИЕ  $CP$ -ЧЕТНОСТИ В  $K \rightarrow 3\pi$ -РАСПАДЕ**

*В. В. Анисович*

В настоящее время еще не ясно, какова природа нарушения  $CP$ -инвариантности, обнаруженного в распаде  $K_L \rightarrow 2\pi^1$ . Ввиду этого представляются важными поиски эффектов, связанных с несохранением  $CP$  в других реакциях. С этой точки зрения распад  $K \rightarrow 3\pi$  обсуждался в работах <sup>2-8</sup>. Ниже будет рассказано о трех основных эффектах, возникающих при несохранении  $CP$  в распадах  $K \rightarrow 3\pi$ .

Важнейшей особенностью распада  $K \rightarrow 3\pi$  является сравнительная малость выделения энергии. Это обстоятельство позволяет думать, что амплитуду распада можно разложить в ряд по энергиям  $\pi$ -мезонов около средней точки далаиц-плота (Dalitz plot) и ограничиться несколькими первыми членами. Действительно, вероятности распадов сравнительно неплохо описываются формулами вида  $\lambda^2 [1 + \frac{2a}{m_\pi^2} (s_{12} - s_0)]$ , где  $s_{12} = (p - k_3)^2$ ,  $p$  — импульс  $K$ -мезона,  $k_3$  — импульс непарного мезона ( $\pi^-$ -мезона в распаде  $K^+ \rightarrow \pi^+\pi^+\pi^-$ ,  $\pi^+$ -мезона в распаде  $K^+ \rightarrow \pi^0\pi^0\pi^+$  и  $\pi^0$ -мезона в распаде  $K_{20} \rightarrow \pi^+\pi^-\pi^0$ ),  $s_0$  — значение  $s_{12}$  в средней точке далаиц-плота. Правило  $\Delta T = 1/2$  приводит к тому, что полный изоспин системы пионов равен единице и константы  $\lambda$  в различных реакциях связаны между собой:  $\lambda^{00+} = \lambda^{+-0} = -\frac{1}{2} \lambda^{++-} = -\frac{1}{3} \lambda^{000}$ . Аналогичная связь существует и между константами  $a$ :  $a^{00+} = a^{+-0} = -2^{++-}$ ,  $a^{000} = 0$ .

Если взаимодействие  $\pi$ -мезонов при низких энергиях не малó (если длины рассеяния пионов порядка  $0,5 m_\pi^{-1} - m_\pi^{-1}$ ), то в амплитуде распада могут играть заметную роль члены, связанные с перерассеянием образовавшихся частиц. В этом случае вероятность распада  $K \rightarrow 3\pi$  только в середине далаиц-плота описывается функцией типа  $\lambda^2 [1 + \frac{2a}{m_\pi^2} (s_{12} - s_0)]$ , а на краях может отличаться от такого типа, так как на краях далаиц-плота у амплитуды имеются сингулярности, связанные с перерассеянием  $\pi$ -мезонов (рис. 1).

Для реакций рождения трех частиц с малым выделением кинетической энергии (типа распада  $K \rightarrow 3\pi$ ) может быть развита строгая феноменологическая теория, аналогичная теории эффективного радиуса Бете — Пайерлса для дейтрона. В рамках этой теории можно учесть взаимодействие образовавшихся  $\pi$ -мезонов в распаде  $K \rightarrow 3\pi$  <sup>9, 10</sup>. При этом, если взаимодействие  $\pi$ -мезонов при низких энергиях не слишком велико (длины рассеяния пионов меньше или примерно равны  $m_\pi^{-1}$ ), амплитуда разлагается в ряд, первый член которого — константа, а следующие члены порядка  $E^{1/2}$ ,  $E$ ,  $E^{3/2}$  и т. д. ( $E$  — кинетическая энергия, выделяющаяся при распаде). Сингулярные члены порядка  $E^{1/2}$  обязаны своим происхождением

диаграммам типа рис. 1, а, сингулярные члены порядка  $E$  — диаграммам типа рис. 1, б. Численные коэффициенты перед этими сингулярными членами выражаются через амплитуды рассеяния  $\pi$ -мезонов при низких энергиях. Коэффициенты перед аналитическими членами не могут быть связаны с другими физическими величинами — при таком рассмотрении эти коэффициенты приходится считать неизвестными константами. Наряду с сингулярными членами таким образом вычисляются однозначно все

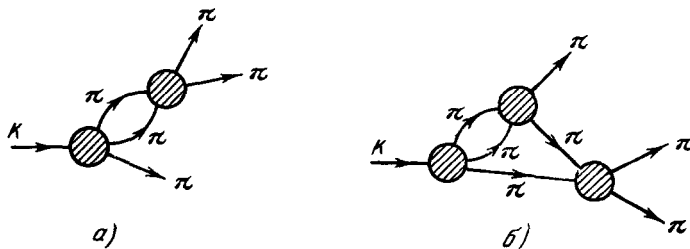


Рис. 1.

мнимые части амплитуды, связанные с перерассеянием образовавшихся  $\pi$ -мезонов. Оказывается, что при длинах рассеяния пионов порядка  $m_\pi^{-1}$  сингулярные члены не меняют существенно спектров  $\pi$ -мезонов в распаде  $K^+ \rightarrow \pi^+\pi^+\pi^-$  и вероятность распада по-прежнему может описываться во всей области формулой типа  $\lambda^2 [1 + \frac{2a}{m_\pi^2} (s_{12} - s_0)]$  с достаточной точностью. Наоборот, в спектрах  $K^+ \rightarrow \pi^0\pi^0\pi^+$  и  $K_{20} \rightarrow \pi^+\pi^-\pi^0$  вклад сингулярных членов более значителен и на краях спектров должно быть заметное отклонение от линейного характера. В работе<sup>11</sup> были собраны данные по распадам  $K^\pm \rightarrow \pi^0\pi^0\pi^\pm$  и  $K_{20} \rightarrow \pi^+\pi^-\pi^0$ , полученные различными авторами (всего около 6000 случаев). При этом наблюдалось отличие от линейного характера. Это, по-видимому, указывает на то, что длины рассеяния пионов не малы и при анализе распадов  $K \rightarrow 3\pi$  необходимо учитывать сингулярности, связанные с перерассеянием образовавшихся  $\pi$ -мезонов.

#### 1. ВЗАИМОДЕЙСТВИЯ, НЕ СОХРАНЯЮЩИЕ $CP$ -ЧЕТНОСТЬ В РАСПАДАХ $K \rightarrow 3\pi$

Экспериментальное изучение распадов  $K \rightarrow 3\pi$  дает возможность определить, имеются ли нарушения  $CP$  в миллислабых взаимодействиях с сохранением пространственной четности.

Для миллислабых взаимодействий с  $\Delta Y = \pm 1$  ( $Y$  — гиперзаряд), не сохраняющих  $CP$ , будет использоваться обозначение  $MW_{\Delta T}^P$ .  $P = \pm$  показывает, сохраняется ли пространственная четность в этом взаимодействии (+) или нет (-). Индекс  $\Delta T$  характеризует несохранение изотопического спина. Например,  $MW_{1/2}^+$  означает миллислабое взаимодействие с сохранением пространственной четности и правилами отбора  $\Delta Y = \pm 1$ ,  $\Delta T = \pm 1/2$ .

Миллислабое взаимодействие с изменением пространственной четности и сверхслабое взаимодействие Вольфенштейна<sup>12</sup> не дают вклада в  $3\pi$ -распады  $K^\pm$ -мезонов, а в распады нейтральных  $K$ -мезонов дают вклад только посредством процессов  $K_{10} \xrightarrow{\text{слабое}} \text{адроны} \xrightarrow{MW^-} K_{20} \rightarrow 3\pi$ ,  $K_{20} \xrightarrow{MW^-} \text{адроны} \xrightarrow{\text{слабое}} K_{10} \rightarrow 3\pi$ ,  $K_{10} \xrightarrow{\text{сверхслабое}} K_{20} \rightarrow 3\pi$ ,  $K_{20} \xrightarrow{\text{сверхслабое}} K_{10} \rightarrow 3\pi$ . Если мы определим долгоживущую и короткоживущую компоненты посредством равенств  $K_L = K_{10} + \varepsilon K_{20}$  и  $K_S = K_{20} + \varepsilon K_{10}$ , то в мат

ричных элементах, описывающих распады  $K_{10^-}$  и  $K_{20^-}$ -мезонов, уже не надо учитывать переходы  $K_{10} \rightarrow K_{20}$  и  $K_{20} \rightarrow K_{10}$ : они полностью учтены введением параметра смешивания  $\epsilon$ . Таким образом, непосредственных переходов  $K_{10} \rightarrow 3\pi$  и  $K_{20} \rightarrow 3\pi$  под воздействием миллислабого взаимодействия с изменением пространственной четности и сверхслабого взаимодействия Вольфенштейна рассматривать не нужно.

Величины взаимодействий  $MW_{1/2}^+$  и  $MW_{3/2}^+$  по отношению к слабому (в дальнейшем такие отношения будут обозначаться через  $r_{\Delta T}^P$ ) должны

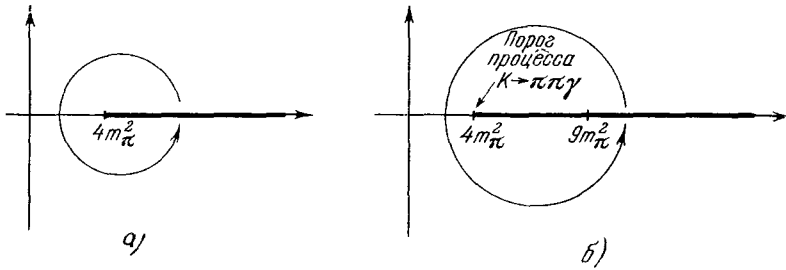


Рис. 2.

быть не более  $10^{-3}$ . В противном случае  $MW_{1/2}^+$  и  $MW_{3/2}^+$  приводили бы к слишком большому нарушению  $CP$  в распаде  $K_L \rightarrow 2\pi$  посредством процесса  $K_{20} \xrightarrow{\text{слабое}} \text{адроны} \xrightarrow{MW_{1/2}^+, 3/2} K_{10} \rightarrow 2\pi$ . Взаимодействия  $MW_{5/2}^+$  и  $MW_{7/2}^+$  не дают вклада в такие переходы. Мы увидим, однако, что из экспериментов по измерению отношений вероятностей распадов  $K^+ \rightarrow \pi^+\pi^+\pi^-$  и  $K^- \rightarrow \pi^-\pi^-\pi^+$  следуют аналогичные ограничения и для взаимодействий  $MW_{5/2}^+$  и  $MW_{7/2}^+$ :  $r_{5/2}^+ \leq 10^{-3}$ ,  $r_{7/2}^+ \leq 10^{-3}$ .

2. НЕСОХРАНЕНИЕ  $CP$ -ЧЕТНОСТИ В РАСПАДАХ  $K^\pm \rightarrow 3\pi$

Амплитуды распадов  $K^+ \rightarrow \pi^+\pi^+\pi^-$  и  $K^+ \rightarrow \pi^0\pi^0\pi^+$  имеют вид

$$A^{++-} = \lambda^{++-} \left\{ 1 + \frac{4a^{++-}}{m_\pi^2} \left( k_{12}^2 - \frac{Em_\pi}{2} \right) + ik_{12}a_2 + \right. \\ \left. + i(k_{13} + k_{23}) \left[ \frac{2}{3}a_0 + \frac{1}{3}a_2 + \frac{1}{3}\rho(a_2 - a_0) \right] + \dots \right\}, \quad (1)$$

$$A^{00+} = \lambda^{00+} \left\{ 1 + \frac{4a^{00+}}{m_\pi^2} \left( k_{12}^2 - \frac{Em_\pi}{2} \right) + \right. \\ \left. + ik_{12} \left[ \frac{1}{3}a_0 + \frac{2}{3}a_0^2 + \frac{2}{3}\rho^{-1}(a_2 - a_0) \right] + i(k_{13} + k_{23})a_2 + \dots \right\}; \quad (2)$$

здесь  $k_{il}$  — относительные импульсы  $\pi$ -мезонов (индексы 1 и 2 относятся к одинаковым  $\pi$ -мезонам),  $\rho = \lambda^{00+}/\lambda^{++-}$ . Первые два слагаемых в фигурных скобках — аналитические члены в разложении амплитуды ( $s_{12} - s_0 = 4k_{12}^2 - 2m_\pi E$ ), следующие — сингулярные члены порядка  $E^{1/2}$ , которые возникли от диаграмм типа рис. 1, а. Точками обозначены последующие члены: сингулярные порядка  $E$ , которые возникают от диаграмм типа рис. 1, в, сингулярные порядка  $E^{3/2}$  и т. д. Имеется правило перехода от амплитуд распада  $K^+$ -мезона к амплитудам распада  $K^-$ -мезона в случае несохранения  $CP$ . Как уже говорилось, из-за взаимодействия образовавшихся  $\pi$ -мезонов амплитуда распада имеет особенности по  $s_{ie}$  (при  $s_{ie} = 4m_\pi^2$ ). Кроме того, амплитуда имеет особенности по  $M_K^2$  (из-за переходов  $K \rightarrow \pi\pi\pi \rightarrow \pi\pi\pi$ ,  $K \rightarrow \pi\pi\gamma \rightarrow \pi\pi\pi$ ). Физическая амплитуда распада берется на верхних берегах разрезов, связанных с этими особенностями, т. е. при  $s_{ie} + i\epsilon$ ,  $M_K^2 + i\epsilon$  ( $\epsilon \rightarrow +0$ ) (рис. 2). В амплитуде

распада имеются как мнимости, связанные с возможными реальными процессами, так и мнимости, возникшие из нарушения  $CP$ . При переходе от амплитуд распада  $K^+$ -мезона к амплитудам распада  $K^-$ -мезона меняется лишь знак мнимостей, связанных с нарушением  $CP$ , а мнимости, связанные с реальными процессами, должны сохранять знак. Поэтому при переходе от амплитуды распада  $K^+$ -мезона к амплитуде распада  $K^-$ -мезона надо перейти от значений  $s_{ie} + i\varepsilon$ ,  $M_K^2 + i\varepsilon$  к значениям  $s_{ie} - i\varepsilon$ ,  $M_K^2 - i\varepsilon$ , как показано на рис. 2 (при этом знак у мнимостей, связанных с реальными процессами, меняется), а затем провести комплексное сопряжение амплитуды \*).

Отсюда видно, что в пренебрежении каналом  $\pi\pi$  амплитуды распадов  $K^-$ -мезонов получаются из (1) и (2) комплексным сопряжением констант  $\lambda$  и  $a$  (и, следовательно,  $\rho$ ).

Тогда из (1) и (2) следует, что имеются следующие выражения для отношения полных вероятностей распадов:

$$\frac{W(K^+ \rightarrow \pi^+\pi^+\pi^-)}{W(K^- \rightarrow \pi^-\pi^-\pi^+)} = 1 + \frac{256}{45\pi} \sqrt{m_\pi E} (a_0 - a_2) \operatorname{Im} \rho, \quad (3)$$

$$\frac{W(K^+ \rightarrow \pi^0\pi^0\pi^+)}{W(K^- \rightarrow \pi^0\pi^0\pi^-)} = 1 - \frac{1024}{45\pi} \sqrt{m_\pi E} (a_0 - a_2) \operatorname{Im} \rho. \quad (4)$$

Величина  $\rho$  определяется отношением двух амплитуд  $\tau$ -распада при нулевой энергии. В этом случае как пространственная, так и зарядовая части волновой функции трех  $\pi$ -мезонов должны быть полностью симметричны, вследствие чего они могут находиться в состоянии либо с  $T = 1$ , либо с  $T = 3$ . Если распадное взаимодействие принадлежит к классу  $MW_{1/2, 3/2}^+$ , то может образоваться лишь первое состояние. Тогда  $\rho = 1/2$ , так что  $\operatorname{Im} \rho = 0$ . На самом деле отличное от нуля  $\operatorname{Im} \rho$  может возникнуть здесь за счет виртуального электромагнитного взаимодействия, содержащего добавочную малость  $\approx 10^{-2}$ . В случаях  $MW_{3/2}^+$  и  $MW_{7/2}^+$  состояние с  $T = 3$  допустимо и  $\operatorname{Im} \rho \neq 0$ . Взаимодействия  $MW_{1/2, 3/2}^+$  могут также приводить к появлению отличных от нуля  $\operatorname{Im} a^{++}$  и  $\operatorname{Im} a^{00}$ . Вычисления, аналогичные приведенным, показывают, однако, что вклад слагаемых, пропорциональных  $\operatorname{Im} a^{++}$  и  $\operatorname{Im} a^{00}$ , мал: в полных вероятностях коэффициенты перед этими мнимыми частями порядка  $10^{-2}$ . Экспериментальные данные по отношениям вероятностей распадов

$$\frac{W(K^+ \rightarrow \pi^+\pi^+\pi^-)}{W(K^- \rightarrow \pi^-\pi^-\pi^+)} = 1,005 \pm 0,009^{13}, 1,0004 \pm 0,0021^{14}$$

показывают, что взаимодействия  $MW_{3/2}^+$  и  $MW_{7/2}^+$  должны составлять величину, меньшую или порядка  $10^{-3}$  от слабого. Увеличение в этих экспериментах точности на один порядок представляет большой интерес.

### 3. ЗАРЯДОВАЯ АСИММЕТРИЯ В РАСПАДЕ $K_L \rightarrow \pi^+\pi^-\pi^0$

Система  $\pi^+\pi^-\pi^0$  может находиться в состояниях с полными изоспинами 0, 1, 2 и 3. Состояния с полными изоспинами 0 и 2 обладают положительной четностью по  $CP$ , состояния с полными изоспинами 1 и 3 — отрицательной  $CP$ -четностью. Амплитуда с  $T = 0$  полностью антисимметрична по энергиям  $\pi$ -мезонов, и поэтому первый член разложения ее имеет малый множитель  $(K_{12}^2 - K_{13}^2)(K_{12}^2 - K_{23}^2)(K_{13}^2 - K_{23}^2)$ . Амплитуда с  $T = 2$  антисимметрична по энергиям  $\pi^+$ - и  $\pi^-$ -мезонов, поэтому первый член ее разложения имеет множитель  $(K_{13}^2 - K_{23}^2)$  (индексы 1, 2

\*) Это правило носит общий характер. Единственное отличие в общем случае заключается в том, что при такой процедуре мы переходим к амплитуде с античастицами, у которых все проекции спинов заменены на обратные.

и 3 относятся соответственно к  $\pi^{+-}$ ,  $\pi^-$  и  $\pi^0$ -мезонам). Разложение амплитуд с  $T = 1$  и  $T = 3$  в ряд по энергиям пионов, как в случае распада  $K^+$ -мезона, начинается с постоянного члена. Это разложение для распада  $K_{20} \rightarrow \pi^+\pi^-\pi^0$  имеет вид

$$A(K_{20} \rightarrow \pi^+\pi^-\pi^0) = \lambda^{+-0} \left\{ 1 + \frac{4a^{+-0}}{m_\pi^2} \left( k_{12}^2 - \frac{Em_\pi}{2} \right) + \right. \\ \left. + ik_{12} \left[ \frac{2}{3} a_0 + \frac{1}{3} a_2 + \frac{1}{3} \sigma (a_2 - a_0) \right] + i (k_{13} + k_{23}) a_2 + \dots \right\} + \\ + iB_2^- \left\{ k_{13}^2 - k_{23}^2 + i \frac{3}{2} a_2 \left[ k_{13} \left( k_{13}^2 - \frac{Em_\pi}{2} \right) - k_{23} \left( k_{23}^2 - \frac{Em_\pi}{2} \right) \right] + \dots \right\} + \\ + iB_0^- (k_{12}^2 - k_{13}^2) (k_{12}^2 - k_{23}^2) (k_{13}^2 - k_{23}^2); \quad (5)$$

здесь первое слагаемое (пропорциональное  $\lambda^{+-0}$ ) описывает переходы с сохранением  $CP$  в состояния с полными изоспинами 1 и 3, а второе (пропорциональное  $B_2^-$ ) и третье (пропорциональное  $B_0^-$ ) — переходы с изменением  $CP$  в состояния с изоспинами 2 и 0. Константы  $\lambda^{+-0}$ ,  $a^{+-0}$ ,  $B_2^-$  и  $B_0^-$  действительны. Действительная константа  $\sigma = \lambda^{000}/\lambda^{+-0}$  равна  $-3$  в отсутствие переходов с  $\Delta T = 5/2$  и  $\Delta T = 7/2$ . В формуле (5), как и в формулах (1) и (2), учтены лишь сингулярные члены, возникающие от диаграмм типа рис. 1, а, а сингулярности, связанные с диаграммами типа рис. 1, в, и т. д. опущены.

Амплитуда перехода  $K_{10} \rightarrow \pi^+\pi^-\pi^0$  получается из (5) заменой  $\lambda^{+-0} \rightarrow \tilde{\lambda}^{+-0}$ ,  $a^{+-0} \rightarrow \tilde{a}^{+-0}$ ,  $B_2^- \rightarrow -iA_2^+$ ,  $B_0^- \rightarrow -iA_0^+$ , причем эти новые константы  $\tilde{\lambda}^{+-0}$ ,  $\tilde{a}^{+-0}$ ,  $A_2^+$  и  $A_0^+$  также действительны. Слагаемое, пропорциональное  $\tilde{\lambda}^{+-0}$ , связано с переходами в состояния с полными изоспинами 1 и 3 с изменением  $CP$ , слагаемое, пропорциональное  $A_2^+$ , описывает переходы с сохранением  $CP$  в состояние с изоспином 2 ( $\Delta T = 3/2$  и  $\Delta T = 5/2$ ), а слагаемое, пропорциональное  $A_0^+$ , — в состояние с изоспином 0 (с сохранением  $CP$  и  $\Delta T = 1/2$ ).

Зарядовая асимметрия в распаде  $K_L = \pi^+\pi^-\pi^0$  равна ( $K_L = K_{20} + \varepsilon K_{10}$ )

$$\frac{W(E_+ > E_-) - W(E_+ < E_-)}{W(E_+ > E_-) + W(E_+ < E_-)} \simeq \\ \simeq - \frac{Em_\pi}{\lambda^{+-0}} \{ 0,7A_2^+ \operatorname{Re} \varepsilon + \sqrt{Em_\pi} (0,8a_0 - 0,4a_2) (B_2^- + A_2^+ \operatorname{Im} \varepsilon) \} - \\ - \frac{E^3 m_\pi^3}{\lambda^{+-0}} \{ 0,04A_0^+ \operatorname{Re} \varepsilon + \sqrt{Em_\pi} (0,05a_2 + 0,04a_2) (B_0^- + A_0^+ \operatorname{Im} \varepsilon) \}. \quad (6)$$

Амплитуда  $A_0^+$  обусловлена переходом с сохранением  $CP$  и  $\Delta T = 1/2$ , поэтому  $A_0^+/\lambda^{+-0} \sim M^{-6}$ , где  $M$  — некоторая «характерная» масса. Никаких экспериментальных оценок величины  $A_0^+$  (а значит, и величины  $M$ ) не существует. По-видимому, разумно считать, что  $M \approx m_\pi - 5m_\pi$ : «характерная» масса, лишаящая размерности коэффициент перед  $k_{12}^2$  —  $\frac{Em_\pi}{2}$  в (1) и (2), порядка  $m_\pi$ , однако вполне возможно, что для других коэффициентов эта масса существенно больше. Отношение амплитуд  $A_2^+/\lambda^{+-0} \approx (10^{-1} \div 10^{-2}) M^{-2}$ . Малость порядка  $10^{-1} - 10^{-2}$  возникла из-за того, что амплитуда  $A_2^+$  описывает переход с нарушением правила  $\Delta T = 1/2$ . При нарушении  $CP$  взаимодействиями  $MW_{1/2}^+$ ,  $MW_{3/2}^+$ ,  $MW_{5/2}^+$  и  $MW_{7/2}^+$  оценки на амплитуды  $B_2^-$  и  $B_0^-$  даны в табл. 1. Возникающая дополнительная малость порядка  $10^{-2}$  в амплитуде  $B_2^-$  в случае взаимодействия  $MW_{1/2}^+$  связана с тем, что это взаимодействие дает

Таблица I

( $r_{\Delta T}^P$  — отношение «сил» взаимодействия  $MW_{\Delta T}^P$  и слабого,  $M$  — характерная масса порядка  $m_\pi - 5m_\pi$  ( $m_\pi$  — масса пиона))

	$MW_{1/2}^+$	$MW_{3/2}^+$	$MW_{5/2}^+$	$MW_{7/2}^+$
$\tilde{\lambda}/\lambda$	$\approx r_{1/2}^+$	$\approx r_{3/2}^+$	$\approx r_{5/2}^+$	$\approx r_{7/2}^+$
$B_0^-/\lambda$	$\approx \frac{r_{1/2}^+}{M^6}$	$\approx 10^{-2} \frac{r_{3/2}^+}{M^6}$	$\approx 10^{-2} \frac{r_{5/2}^+}{M^6}$	$10^{-4} \frac{r_{7/2}^+}{M^6}$
$B_2^-/\lambda$	$\approx 10^{-2} \frac{r_{1/2}^+}{M^2}$	$\approx \frac{r_{3/2}^+}{M^2}$	$\approx \frac{r_{5/2}^+}{M^2}$	$\approx 10^{-2} \frac{r_{7/2}^+}{M^2}$

Таблица II

( $a_0$  и  $a_2$  — длины рассеяния пионов в состояниях с изоспинами 0 и 2,  $m_\pi$  — масса пиона,  $M$  — характерная масса порядка  $m_\pi - 5m_\pi$ )

Тип взаимодействия	Отношение «сил» взаимодействия, нарушающего CP, и слабого $r_{\Delta T}^P$	$\frac{W(K^+ \rightarrow \pi^+\pi^+\pi^-)}{W(K^- \rightarrow \pi^-\pi^+\pi^+)} - 1$	Асимметрия $\frac{W(E_+ > E_-) - W(E_+ < E_-)}{W(E_+ > E_-) + W(E_+ < E_-)}$ в распаде $K_L \rightarrow \pi^+\pi^-\pi^0$	Величина амплитуды $\alpha$ осцилляций в зависимости вероятности распада $K \rightarrow \pi^+\pi^-\pi^0$ от времени
Сверхслабое Вольфенштейна		0	$\approx (10^{-4} \div 10^{-5}) \frac{m_\pi^2}{M^2}$	$\approx 10^{-3}$
$MW_{1/2}^-$	$\leq 10^{-3}$	0	$\approx (10^{-4} \div 10^{-5}) \frac{m_\pi^2}{M^2}$	$\approx 10^{-3}$
$MW_{3/2}^-$	$\leq 10^{-3}$	0	$\approx (10^{-4} \div 10^{-5}) \frac{m_\pi^2}{M^2}$	$\approx 10^{-3}$
$MI_{1/2}^+$	$\leq 10^{-3}$	$\approx 10^{-2} r_{1/2}^+$	$\approx (10^{-4} \div 10^{-5}) \frac{m_\pi^2}{M^2}$	$\approx 10^{-3}$
$MI_{3/2}^+$	$\leq 10^{-3}$	$\approx 10^{-2} r_{3/2}^+$	$\approx (10^{-4} \div 10^{-5}) \frac{m_\pi^2}{M^2} + r_{3/2}^+ \frac{m_\pi^3 a_0}{M^2}$	$\approx 10^{-3}$
$MW_{5/2}^+$	$\leq 10^{-3}$	$\approx  a_0 - a_2  m_\pi \cdot r_{5/2}^+$	$\approx (10^{-4} \div 10^{-5}) \frac{m_\pi^2}{M^2} + r_{5/2}^+ \frac{m_\pi^3 a_0}{M^2}$	$\approx 10^{-3} +  a_0 - a_2  m_\pi r_{5/2}^+$
$MW_{7/2}^+$	$\leq 10^{-3}$	$\approx  a_0 - a_2  m_\pi \cdot r_{7/2}^+$	$\approx (10^{-4} \div 10^{-5}) \frac{m_\pi^2}{M^2}$	$\approx 10^{-3} +  a_0 - a_2  m_\pi r_{7/2}^+$

переход в состояние с полным изоспином 2 только при наличии виртуального  $\gamma$ -кванта. Аналогичная причина обуславливает появление дополнительной малости и в других случаях.

Оценки для величины зарядовой асимметрии

$$\frac{W(E_+ > E_-) - W(E_+ < E_-)}{W(E_+ > E_-) + W(E_+ < E_-)}$$

для различных типов взаимодействий, нарушающих  $CP$ , приведены в табл. II. Видно, что при любом варианте нарушения  $CP$  зарядовая асимметрия должна быть мала — порядка  $10^{-4} - 10^{-5}$ .

#### 4. ЗАВИСИМОСТЬ ОТ ВРЕМЕНИ ВЕРОЯТНОСТИ РАСПАДА $K^0$ - ИЛИ $\bar{K}^0$ -МЕЗОНА НА $\pi^+\pi^-\pi^0$

Зависимость вероятности распада  $K^0$ - или  $\bar{K}^0$ -мезона на  $\pi^+\pi^-\pi^0$  от времени описывается следующей формулой (знак «+» относится к распадам  $K^0$ -мезонов, знак «-» — к распадам  $\bar{K}^0$ -мезонов):

$$W_{\pm}(\pi^+\pi^-\pi^0) \sim e^{-t/\tau_L} + \frac{W(K_S \rightarrow \pi^+\pi^-\pi^0)}{W(K_L \rightarrow \pi^+\pi^-\pi^0)} e^{-t/\tau_S} \pm 2 \left| \int \frac{d\Phi A^*(K_L \rightarrow \pi^+\pi^-\pi^0) A(K_S \rightarrow \pi^+\pi^-\pi^0)}{W(K_L \rightarrow \pi^+\pi^-\pi^0)} e^{-1/2\tau_L t - 1/2\tau_S t} \cos(\Delta m t + \varphi) \right|$$

$$\varphi = \arg \int d\Phi A^*(K_L \rightarrow \pi^+\pi^-\pi^0) A(K_S \rightarrow \pi^+\pi^-\pi^0), \quad (7)$$

где  $\int d\Phi$  — интеграл по фазовому объему пионов,  $t$  — время,  $\Delta m = m_L - m_S$ . Осцилляции во временной зависимости возникают из-за последнего слагаемого. Амплитуду этих осцилляций можно получить, исходя из формулы для (5) и из аналогичной формулы для распада  $K_{10} \rightarrow \pi^+\pi^-\pi^0$ :

$$\alpha = 2 \left| \int \frac{d\Phi A^*(K_L \rightarrow \pi^+\pi^-\pi^0) A(K_S \rightarrow \pi^+\pi^-\pi^0)}{W(K_L \rightarrow \pi^+\pi^-\pi^0)} \right| \simeq \simeq 2 \left( 1 + \frac{W(K_{10} \rightarrow \pi^+\pi^-\pi^0)}{W(K_{20} \rightarrow \pi^+\pi^-\pi^0)} \right) \text{Re } \varepsilon + \frac{64}{45\pi} \sqrt{m_\pi E} (a_0 - a_2) \left( 3 \frac{\tilde{\lambda}^{+-0}}{\lambda^{+-0}} + \frac{\tilde{\lambda}^{000}}{\lambda^{000}} \right). \quad (8)$$

Видно, что в любом варианте взаимодействия ожидаемые осцилляции порядка  $10^{-3}$  (см. табл. II).

Институт физики высоких энергий,  
Серпухов

#### ЦИТИРОВАННАЯ ЛИТЕРАТУРА

1. J. H. Christenson, J. W. Cronin, V. L. Fitch, R. Turlay, Phys. Rev. Lett. **13**, 138 (1964).
2. N. Byers, S. W. Macdowell, C. N. Yang, High-energy Physics and Elementary Particles, IAEA, Vienna, 1965, стр. 953.
3. Y. Ueda, S. Okubo, Phys. Rev. **B139**, 1594 (1965).
4. T. N. Truong, Phys. Rev. Lett. **17**, 153 (1966).
5. В. В. Анисович, В. М. Шехтер, Ядерная физика **5**, 855 (1967).
6. Я. Б. Зельдович, Ядерная физика **6**, 840 (1967).
7. M. K. Gaillard, Nuovo Cimento **52**, 359 (1967).
8. T. J. Devlin, S. Barshay, Phys. Rev. Lett. **19**, 881 (1967).
9. В. Н. Грибов, ЖЭТФ **41**, 1226 (1958).
10. В. В. Анисович, А. А. Ансельм, УФН **88** (2); 287 (1966).
11. В. В. Анисович, Л. Г. Дахио, Письма ЖЭТФ **6**, 907 (1967).
12. L. Wolfenstein, Phys. Rev. Lett. **13**, 562 (1964).
13. C. R. Fletcher, E. W. Beier, R. T. Edwards et al., Phys. Rev. Lett. **19**, 98 (1967).
14. C. L. Ford et al., Phys. Rev. Lett. **18**, 1214 (1967).